Stothywhole ahmorp, obrhw XXVIII, No. 1975

Серия технических наук

ЭЛЕКТРОТЕХНИКА

Э В. ТАТЕВОСЯН

МОДЕЛЬ СТАТИСТИЧЕСКИХ ИСПЫТАНИГІ СИСТЕМЫ АВТОМАТИЧЕСКОГО УРАВНОВЕЩИВАНИЯ ПРИ ВРАЩЕНИИ

Структура рассмотренной в [1] системы автоматического уравновешинания при вращении (CAYB) приведена на рис. 1, а, где 113У—измерительное устройство, которое превращает сигнал дисбаланса и электрические колебания и фильтрует помехи. УУ—упраиляющее устройст-10, паределяющее фазы дискрет исправления, ИсУ—исполнительное устройство, которое наносит (или удаляет) дискреты исправления с фазами, заданными управляющим устройством, на уравновениваемый дотор—объект регулирования ОР с коэффициентом передачи a₁. В [1] зана авалитическая модель системы при дейстнии внешней широкопомосной (некоррелированной) помехи, а также кратко описана ее цифровая модель (рис. 1,6).

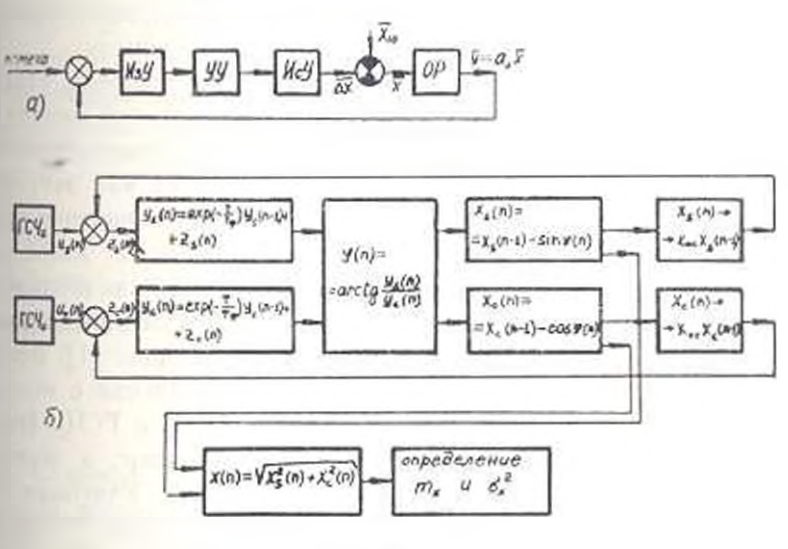


Рис. 1.

Необходимость цифрового моделирования сбусловлена следующим:

- 1. При аналитическом исследовании САУВ рассматривается как испрерывная система, в то время как в конце уравновешивания сущестзсявым становится влияние отдельных дискрет исправления;
- 2 САУВ является системой с управлением по фазе, т. е. существен во величенной системой с обратной сиязью, для которой неприменима

статистическая линсаризация. Потому при аналитическом исследовация [1] процесс уравновенивация в условиях внешней помехи был приближенно разделен на 2 стадии; нестиционирный процесс, гле методом «динамики средних» [2] был найден закон уменьшения матожилания дисбаланса

$$x = x_{1:2}, \exp\left(-\frac{t}{\tau_y}\right), \tag{1}$$

т не ж - матожидание дисбаланся;

 $z_v{pprox}1.6\,rac{\sigma_0}{V_u}$ — постоянная времени урарновешивания; z_n — среднеквадра-

тическое значение помехи; $V_u = \Delta f_u$ — скорость исправления; Δ и f_u — дискрета и частота исправления;

и станнопарный процесс с матожиданием дисбаланся, отличным от нуля, который был исследован методами теории марковских процессов. В конце первой стадии, когда величина дисбаланса становится соизмеримой с дискретой, метод «динамики средних» не применим, поэтому не представляется возможным аналитически определить длительносты перехода от нестационарного вроцесса к стационарному, т. е. точно определить время выхода в стационарную область;

3. Представление случайного остаточного дисбаланса в стационарном процессе (на иторой стацият как компоненты марковского процесса с релеевским распределением при аналитическом исследовании возможно только при большом уровне номехи и требует экспериментального подтверждения в случае небольшой по величине помехи.

Возможность инфрового моделирования обусловлена статистической устойчивостью системы. Петривнальность инфровой модели CAVB, которая потребовала ес подробного рассмотрения, определяется особенностями рассматриваемой системы, а именио— так как регулируемая величина и CAVB является векторной, она при моделировании представляется как сумма двух ортогональных составляющих. Такой переход от полярных координат к декартовым нозможен, так как вектор узконолосной помехи на выходе фильтра также может быть представлен как сумма двух ортогональных независимых составляющих [1]. Вследетвие этого цифровая модель CAVB является двухканальной с отдельными независимыми генераторами случайных чисел ГСЧ_к и ГСЧ_с (рис. 1,6).

Условия адекватности модели системе включают, в первую очередь, неискажение спектра при дискретизации [3]. Ичитывая, что первод дискретизации при цифровом моделировании задан (T-1), необходимо найти из условия неискажения спектра при дискретизации допустимые пределы изменения нараметров модели—в данном случае добротности Q фильтра H3V. Так как аналогом цифрового фильтра с разностным уравнением

$$y(n) = e^{-r \tau_{\Phi}} y(n-1) + u(n)$$
 (2)

(где u(n) и y(n) — входная и выходная последовательности соответственио; T_{Φ} —постоянная времени фильтра ИзУ) является инеринон-

ное знено с передаточной функцией

$$W(p) = \frac{1}{\frac{1}{T_{th}} + p} \tag{3}$$

то, считая, что спектр сигнала на выходе инерционного звена при вействии на входе "белого шума" ограничен частотой — 2 — 3 — 3 условия $2f_n < 1/T$ найдем область допустимого изменения T_{Φ} : $T_{\Phi} > 1.67$ В целях простоты модели целесообразно вринять частоту вращения уравновешиваемого ротора равной периоду цискретизации, т. е. $f_{\Phi} = T = 1$. (Одновременно определяются две ортогональные составляющие вектора дисбаланса, поэтому это условие не приведет к потере информации о полезном сигнале.) Так как $T_{\Phi} = \frac{Q}{v_0} = \frac{Q}{\tau f_{\Phi}}$, то условнем неискажения спектра будет $Q \gg 5$.

При действии на входе цифрового фильтря (2) последовательвости и(n) независимых чисел, распределенных по пормальному закону с нулевым матожиданием и дисперсией э-, писперсия выходной последовательности у(n) равна [4]

$$\sigma_y^2 = \frac{\sigma_y^2}{1 - \exp(-27/T_\Phi)} \tag{4}$$

Вследствие достаточно медленного изменения дисбаланся (из-за суммирования дискрет исправления), коэффициент передачи цифрового фильтра по полезному сигналу можно принять равным коэффициенту передачи для постоянной иходной последовательности [4]:

$$K_c = \frac{1}{1 - \exp(-T/T_{\Phi})} \tag{5}$$

С учетом (4) и (5) постоянная времени уравновенивания при цифровом моделировании равна:

$$\tau = \frac{1}{0.63K_{00}} \sqrt{\frac{1 - \exp(-\pi/Q)}{1 + \exp(-\pi/Q)}}$$
 (6)

гле K_{∞} — коэффициент обратной связи модели $K_{\infty} = a_1$ гле a_1 — коэффициент передачи уравновешиваемого ротора).

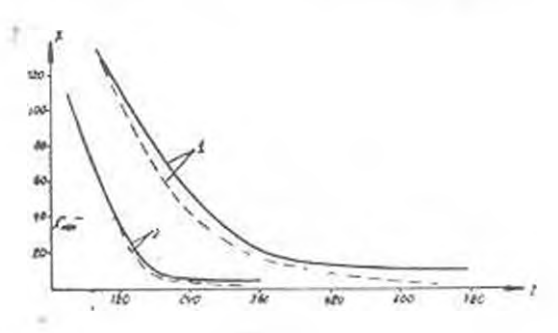
Величина дисбаланса, с которой начинается влияние помехи, т.с. мачало снижения дисбаланса по экспоненте, определяется из соотношения $m_{\cos z} \approx 0.8$ [1], где матожидание косинуса фазовой ошибки опредляется на выходе фильтра и равна:

$$\approx 1.27 \frac{1}{K_{\rm oc}} \sqrt{\frac{1 - \exp(-\pi/Q)}{1 + \exp(-\pi/Q)}}.$$
 (7)

Матожидание величины остаточного дисбаланса в стационарном процессе (в соответствии с (9) из [1]) ври цифровом моделировани равно;

$$m_{\pi} \simeq 0.396 \sqrt{\frac{1 - \exp(-\pi/Q)}{1 + \exp(-\pi/Q)}}$$
 (8)

Проверки адекватности модели системе производится для случая, допускающего апалитическое решеняе, г. с. для первой стадии процесса уравновешивания и условиях помехи. На рис. 2 приведены кривые сипжения дисбаланса при добротности фильтра Q=5 и внешией помехе



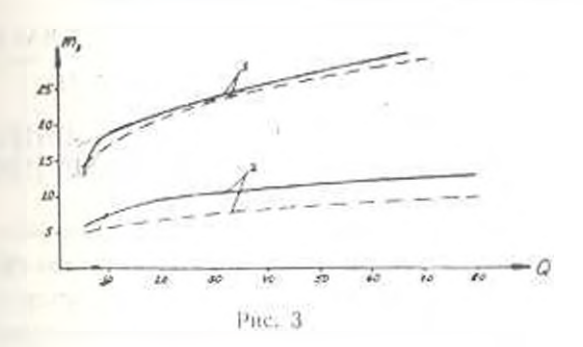
Piic. 2.

 $s_n^2=1$, для двух значений K_{0c} (кривая $I=K_{0c}=0.006$; кривая $2-K_{0c}=0.02$). Пунктиром приведены расчетные по (1) кривые, где $x_{0.02}=$ по (6) и (7) соответственно. Как индно из рис. 2, при m=0.8 сияжение исбаланса происходит практически по прямой. Отклонение от экспоненты (1) начинается со значений дисбаланса, превышающих матожидание в 1.5:2 раза. Время уменьшения дисбаланса от $x_{0.02}$ по выхода в станионарную область ненамного меньше времени затухания экспоненты: 1.5:2

Исследование глишонарного процесса гребуст, в первую очередь, определения необходимого объема выборки последовательности случайных чисел (объема прогонки модели САУВ) для волучения достоверных значений матожидания m_x и дисперени σ_x^2 . Для этого необходимо знаше корреляционной функции случайного остаточного дисбаланса [5], вычисление которой занимает значительный объем мамяти. При ограниченности объема намяти матожидание и диспереня остаточного дисбаланса могут определяться путем последовательного увеличения объема прогонки модели. Последовательное увеличение объема прогонки модели. Последовательное увеличение объема прогонки продолжается до тех пор, пока значения m_x и σ_x не стабилизируются (отличаются не более чем на 10-15% в последних 2-3-х выборках).

На рис. 3 приведены зависимости матожидания остаточного дисбаланса от добротности фильтра для звух значений коэффициента обраной связи: криная $I-K_{\rm oc}$ =0,002, что при σ^*-1 соответствует помехе на входе CANB пеличиной 500 дискрет; кривая $2-K_{\rm or}$ =0,02 (помеха

равна 50 дискретам) В первом случае, так как помеха на выходе фильтра больше полезного сигнала, экспериментальные кривые хорошо совпадают с расчетными по (81, для второго случая формула (8) даст запиженное (на ~ 30%) значение величины сстаточного дисбаланса



Опошение матожидания к дисперсии случайного остаточного дисбаланса составляет 2,1 ÷ 2,2, что близко к гому же отношению для релеевского распределения. Таким образом, котя при низком уровие номехи формула (8) дает несколько заниженное значение матожидания остаточного дисбаланса, вследствие невыполнения условия, принятого при налитическом исследовании, однако можно еситать, что экспериментальное исследование подтвердило гипотезу о случайном остаточном писбалансе как компоненте марковского процесса с релеевским распрежением.

દ, તું, ભાગનનામાં માત્ર

ՊՏՏՄԱՆ ԷՆԹԱՑՔՈՒՄ ԱՎՏՈՄԱՏ ՀԱՎԱՍԱՐԱԿՇՌՈՂ ՍԵՍՏԵՄԵ ՎԵՃՈՒԱԳՐԱԿԱՆ ՓՈՐՉԱՐԿՈՒՄՆԵՐԻ ՄՈԴԵԼԸ

Ամփութում

արում <mark>է պատման բնքացրում ավառմատ Հավասարակյուղ ո</mark>րատեմի իր վիճ<mark>ակադրակա</mark>ն մոդնիր հարցուքիան նպատակով կատարված է անցում կորրդըն<mark>ատն</mark>երի բևնուտյին սիստեմից Գեկարտի սիստեմի, Իերված են մոդնլացման այդ ունոները։

JEHFEPALVPA

- 1 Татогоска Э. В. Онтимальная система управления уравнопенияльнем при працели «Известия АН АрмССР (серия Т. И.1.», г. XXVIII. № 4, 1975.
- 2 Вонгцель Е. С. Введение в исследопание операций Изл. Сов радио», М. 1961
- Т Голд Б., Ч. Цифровая обрасотка сигналов. М., Пта. «Соп. радно» 1973
- 1 вок Дж., Дженкине Г Анализ временных рядов Прогноз и управление Выпуск 1. «Мир», 1974.
- 6 Виденкии С. Я. Статистические методы исследования систем автоматического регуаврования. Изд. «Сов. радио». М., 1967.